

## ЭНЕРГИЯ СВЯЗИ ДЫРКИ НА МНОГОЗАРЯДНОМ АКЦЕПТОРЕ В ПОЛУПРОВОДНИКАХ СО СТРУКТУРОЙ АЛМАЗА

Гельмонт Б. Л., Родина А. В.

В импульсном представлении получены и численно решены интегральные уравнения для волновой функции дырки, связанной на многозарядном акцепторном центре в полупроводнике со сложной структурой валентной зоны, для двух предельных случаев большой и малой величин спин-орбитального расщепления  $\Delta$ . Рассчитаны зависимости энергии связи основного состояния от отношения масс легкой и тяжелой дырок  $\beta$ . Получено распределение по импульсам связанных на акцепторе легких и тяжелых дырок для разных значений  $\beta$ . Предложен критерий применимости рассмотренных моделей для описания многозарядных центров в алмазоподобных полупроводниках. Результаты расчетов хорошо согласуются с экспериментальными данными.

В полупроводниках со структурой алмаза или цинковой обманки (Ge, Si, InSb, GaAs и др.) вершина валентной зоны многократно вырождена. Необходимость учитывать сложную зонную структуру значительно затрудняет теоретические исследования связанных состояний дырки на примесных центрах. В то же время ясные представления о спектре и волновых функциях этих состояний представляют большой интерес для оптических исследований, например для описания горячей люминесценции, обусловленной рекомбинацией электронов с дырками, связанными на акцепторе [1-3]. В настоящей работе построена теория многозарядного акцепторного центра в полупроводниках с вырожденной валентной зоной для двух предельных случаев большой и малой величин спин-орбитального расщепления  $\Delta$ . Рассмотрены  $z$ -зарядные «водородоподобные» акцепторы, для которых справедливо соотношение  $|E_z^i| < E_B z^2$ , где  $|E_z^i|$  — последний потенциал ионизации  $z$ -зарядного центра,  $E_B = e^2 m_h / 2\kappa^2 \hbar^2$  — боровская энергия тяжелой дырки,  $m_h$  — масса тяжелой дырки,  $e$  — заряд электрона,  $\kappa$  — диэлектрическая проницаемость полупроводника. Гофрировка изоэнергетических поверхностей не учитывается. Уравнение Шредингера, описывающее движение дырки в кулоновском потенциале, в импульсном представлении имеет вид

$$\hat{H}_0(\mathbf{k}) \Psi(\mathbf{k}) - \frac{e^2 z}{2\pi^2 \kappa} \int \frac{d^3 \mathbf{q}}{(\mathbf{k} - \mathbf{q})^2} \Psi(\mathbf{q}) = E_z \Psi(\mathbf{k}). \quad (1)$$

Здесь  $\mathbf{k}$  — волновой вектор дырки,  $\hat{H}_0(\mathbf{k})$  — эффективный гамильтониан, описывающий дырку в вырожденной валентной зоне. Данное уравнение справедливо для мелких акцепторных уровней, удовлетворяющих условию  $|E_z| \ll \ll E_g$ , где  $E_g$  — ширина запрещенной зоны. При  $z=1$  оно определяет энергию основного состояния однозарядного акцептора  $E_1$  (энергию перехода  $A_1^0 \rightarrow A_1^-$ ), при  $z=2$  — второй потенциал ионизации двухзарядного акцептора  $E_2$  ( $A_2^- \rightarrow A_2^{--}$ ) и т. д. Вид эффективного гамильтониана  $\hat{H}_0(\mathbf{k})$  зависит от соотношения между  $|E_z|$  и величиной спин-орбитального расщепления  $\Delta$ . В случае  $|E_z| \ll \Delta$  в качестве  $\hat{H}_0(\mathbf{k})$  может быть выбран четырехзонный гамильтониан Латтинжера  $\hat{H}_0^{\pm}(\mathbf{k})$ , имеющий в сферическом приближении вид [4]

$$\hat{H}_0^{\pm}(\mathbf{k}) = \frac{\hbar^2}{2m_0} \left[ \left( \gamma_1^i + \frac{5}{2} \gamma_1^i \right) k^2 - 2\gamma_1^i (\mathbf{k}\mathbf{J})^2 \right], \quad (2)$$

где  $m_0$  — масса свободного электрона,  $J_x, J_y, J_z$  — числовые  $(4 \times 4)$  матрицы проекций момента, соответствующие значению  $J = 3/2$ ;  $\gamma^i = (3\gamma_3^i + 2\gamma_2^i)/5$ ;  $\gamma_1^i, \gamma_2^i, \gamma_3^i$  — параметры Латтинжера [4], связанные с массами легкой  $m_l$  и тяжелой  $m_h$  дырок соотношениями  $m_l = m_0/(\gamma_1^i + 2\gamma^i)$ ,  $m_h = m_0/(\gamma_1^i - 2\gamma^i)$ ,  $\gamma_1^i > 2\gamma^i > 0$ . Волновая функция  $\Psi(\mathbf{k})$  представляет собой четырехкомнатный столбец.

В случае  $|E_s| \gg \Delta$  рассмотрение может быть ограничено трехзонным гамильтонианом Латтинжера [4]  $\hat{H}_0^3(\mathbf{k})$ :

$$\hat{H}_0^3(\mathbf{k}) = \frac{\hbar^2}{m_0} \left[ \frac{1}{2} (\gamma_1 + 2\gamma) k^2 - 2\gamma (\mathbf{kL})^2 \right], \quad (3)$$

где  $L_x, L_y, L_z$  — числовые  $(3 \times 3)$  матрицы проекций момента для состояний с  $p$ -симметрией [4]. Параметры  $\gamma_1$  и  $\gamma$  связаны с параметрами Латтинжера соотношениями  $\gamma_1 = (\gamma_1^i + \gamma^i)$ ,  $\gamma = 3\gamma^i/2$ . Массы легкой и тяжелой дырок у вершины валентной зоны по-прежнему связаны с параметрами Латтинжера, однако при энергиях  $|E_s| \gg \Delta$  масса легкой дырки меняется и дается выражением  $m_l = m_0/(\gamma_1 + 2\gamma) = m_0/(\gamma_1^i + 4\gamma^i)$ . Волновая функция  $\psi(\mathbf{k})$  представляет собой трехмерный столбец с компонентами  $\psi_x(\mathbf{k}), \psi_y(\mathbf{k}), \psi_z(\mathbf{k})$ .

В рамках соответствующего гамильтониану (2) приближения связанные состояния акцептора рассматривались в работах [1, 5-9]. Энергия основного состояния и радиальные волновые функции связанной на акцепторе дырки находились путем численного [1, 5, 9] или вариационного [6-8] решения системы дифференциальных уравнений в координатном пространстве. В работе [1] для ряда конкретных полупроводников по рассчитанным ранее радиальным волновым функциям [9] было определено распределение связанных на акцепторе дырок по импульсам. Асимптотическое поведение волновой функции акцептора в импульсном представлении при больших значениях  $k$  исследовалось в [10]. Авторы [8] вариационным методом искали зависимость энергии основного состояния однозарядного акцептора от параметров полупроводника для случаев  $\Delta = \infty$  и  $\Delta = 0$ , однако им не удалось определить конечные значения энергии в пределе  $\beta = 0$  и показать, что она всегда порядка боровской энергии тяжелой дырки.

В настоящей работе мы рассмотрим уравнение (1) с эффективными гамильтонианами (2) и (3) в импульсном представлении. Оказывается, что в общем случае произвольного соотношения масс легкой и тяжелой дырок  $\beta$  уравнение (1) может быть сведено к системе двух интегральных уравнений с параметром  $\beta$ . В результате численного решения этой системы будут рассчитаны зависимости  $E_s(\beta)$  для случаев  $\Delta = \infty$ ,  $\Delta = 0$  и волновые функции связанной на акцепторе дырки в импульсном представлении. Будет показано, что значение  $E_1$ , полученное в модели  $\Delta = \infty$ , хорошо описывает энергию ионизации однозарядного акцептора в Ge, а значение  $E_3$ , полученное в модели  $\Delta = 0$ , — третий потенциал ионизации трехзарядного акцептора в Si.

Рассмотрим вначале случай  $\Delta = \infty$ . Как показано в работе [7], гамильтониан (2) может быть представлен в виде

$$\hat{H}_0^3(\mathbf{k}) = \frac{\hbar^2 k^2}{2m_h} \Lambda^h(\mathbf{k}) + \frac{\hbar^2 k^2}{2m_l} \Lambda^l(\mathbf{k}), \quad (4)$$

где  $\Lambda^l(\mathbf{k})$  и  $\Lambda^h(\mathbf{k})$  — операторы проектирования на состояния легких и тяжелых дырок соответственно:

$$\begin{aligned} \Lambda^h(\mathbf{k}) &= \frac{1}{2} \left[ \frac{(\mathbf{kJ})^2}{k^2} - \frac{1}{4} \right], \\ \Lambda^l(\mathbf{k}) &= \frac{1}{2} \left[ \frac{9}{4} - \frac{(\mathbf{kJ})^2}{k^2} \right], \end{aligned} \quad (5)$$

а волновая функция основного состояния — в виде

$$\begin{aligned} \Psi(\mathbf{k}) &= \Psi^h(\mathbf{k}) + \Psi^l(\mathbf{k}), \\ \Psi^h(\mathbf{k}) &= \Lambda^h(\mathbf{k}) \Psi(\mathbf{k}), \\ \Psi^l(\mathbf{k}) &= \Lambda^l(\mathbf{k}) \Psi(\mathbf{k}), \end{aligned} \quad (6)$$

где  $\psi^h(\mathbf{k})$  — волновой пакет, состоящий из тяжелых дырок, а  $\psi^l(\mathbf{k})$  — из легких. Действуя на уравнение (1) слева операторами  $\Lambda^l(\mathbf{k})$  и  $\Lambda^h(\mathbf{k})$ , перейдем к системе уравнений для функций  $\psi^l(\mathbf{k})$  и  $\psi^h(\mathbf{k})$  [7]

$$\begin{aligned} \frac{\hbar^2 k^2}{2m_h} \Psi^h(\mathbf{k}) - \frac{e^2 z}{2\pi^2 \kappa} \Lambda^h(\mathbf{k}) \int \frac{d^3 \mathbf{q}}{(\mathbf{k} - \mathbf{q})^2} \Psi(\mathbf{q}) &= E_z \Psi^h(\mathbf{k}), \\ \frac{\hbar^2 k^2}{2m_l} \Psi^l(\mathbf{k}) - \frac{e^2 z}{2\pi^2 \kappa} \Lambda^l(\mathbf{k}) \int \frac{d^3 \mathbf{q}}{(\mathbf{k} - \mathbf{q})^2} \Psi(\mathbf{q}) &= E_z \Psi^l(\mathbf{k}). \end{aligned} \quad (7)$$

Уравнения (7) представляют собой систему восьми интегральных уравнений. Размерность этой системы может быть понижена, если искать решение в виде

$$\Psi(\mathbf{k}) = [f_h(k) \Lambda^h(\mathbf{k}) + f_l(k) \Lambda^l(\mathbf{k})] \chi, \quad (8)$$

где  $\chi$  — постоянный, не зависящий от  $\mathbf{k}$  четырехмерный столбец с одной отличной от нуля строкой (основное состояние акцептора четырехкратно вырождено [5, 7]). Функции  $f_h(k)$  и  $f_l(k)$  представляют собой распределения связанных на акцепторе легких и тяжелых дырок по импульсам и нормированы условием

$$\int_0^\infty k^2 dk [f_h^2(k) + f_l^2(k)] = \frac{1}{2\pi}, \quad (9)$$

следующим из условия нормировки полной волновой функции (8) [объем кристалла принят равным  $(2\pi)^3$ ].

Подстановка функции (8) в систему (7) дает систему интегральных уравнений для функций  $f_h(k)$  и  $f_l(k)$

$$\begin{aligned} \left( \frac{\hbar^2 k^2}{2m_h} - E_z \right) f_h(k) &= \frac{e^2 z}{8\pi^2 \kappa} \left\{ \int \frac{d^3 \mathbf{q}}{(\mathbf{k} - \mathbf{q})^2} f_h(q) \left[ 1 + \frac{3(\mathbf{k}\mathbf{q})^2}{k^2 q^2} \right] + \right. \\ &+ \left. 3 \int \frac{d^3 \mathbf{q}}{(\mathbf{k} - \mathbf{q})^2} f_l(q) \left[ 1 - \frac{(\mathbf{k}\mathbf{q})^2}{k^2 q^2} \right] \right\}, \\ \left( \frac{\hbar^2 k^2}{2m_l} - E_z \right) f_l(k) &= \frac{e^2 z}{8\pi^2 \kappa} \left\{ 3 \int \frac{d^3 \mathbf{q}}{(\mathbf{k} - \mathbf{q})^2} f_h(q) \left[ 1 - \frac{(\mathbf{k}\mathbf{q})^2}{k^2 q^2} \right] + \right. \\ &+ \left. \int \frac{d^3 \mathbf{q}}{(\mathbf{k} - \mathbf{q})^2} f_l(q) \left[ 1 + \frac{3(\mathbf{k}\mathbf{q})^2}{k^2 q^2} \right] \right\}. \end{aligned} \quad (10)$$

Как видно из (10), независимо от величины  $\beta = m_l/m_h$  в точке  $k=0$  имеет место равенство  $f_l(0) = f_h(0)$ . В пределе  $\beta=0$  имеем  $f_l(k) \equiv 0$ , т. е. волновая функция акцептора сформирована только из пакета тяжелых дырок [7] [заметим, что формально  $f_l(0) = f_h(0)$  и при  $\beta=0$ ]. В этом случае из системы (10) получается известное интегральное уравнение для функции  $f_h(k)$  [7]

$$\left( \frac{\hbar^2 k^2}{2m_h} - E_z \right) f_h(k) = \frac{e^2 z}{8\pi^2 \kappa} \int \frac{d^3 \mathbf{q}}{(\mathbf{k} - \mathbf{q})^2} f_h(q) \left[ 1 + \frac{3(\mathbf{k}\mathbf{q})^2}{k^2 q^2} \right]. \quad (11)$$

В случае  $m_l = m_h$  ( $\beta=1$ ) система (10) переходит в уравнение для дырки с простым параболическим законом дисперсии.

Для решения системы интегральных уравнений (10) удобно перейти к безразмерным единицам

$$k = \kappa a_{Bz}, \quad \varepsilon = -E_z / (E_B z^2), \quad (12)$$

где  $a_B = \hbar^2 \kappa / m_h e^2$  — боровский радиус тяжелой дырки. В результате получаем систему интегральных уравнений, в которую  $\beta$  входит как параметр простейшим образом,

$$\begin{aligned} (k^2 + \varepsilon) f_h(k) &= \frac{1}{4\pi^2} \left\{ \int \frac{d^3 \mathbf{q}}{(\mathbf{k} - \mathbf{q})^2} f_h(q) \left[ 1 + \frac{3(\mathbf{k}\mathbf{q})^2}{k^2 q^2} \right] + \right. \\ &+ \left. \int \frac{d^3 \mathbf{q}}{(\mathbf{k} - \mathbf{q})^2} f_l(q) \left[ 1 - \frac{(\mathbf{k}\mathbf{q})^2}{k^2 q^2} \right] \right\}, \end{aligned} \quad (13)$$

$$\left(\frac{k^2}{\beta} + \varepsilon\right) f_l(k) = \frac{1}{4\pi^2} \left\{ 3 \int \frac{d^3q}{(k-q)^2} f_h(q) \left[ 1 - \frac{(kq)^2}{k^2q^2} \right] + \right. \\ \left. + \int \frac{d^3q}{(k-q)^2} f_l(q) \left[ 1 + \frac{3(kq)^2}{k^2q^2} \right] \right\}.$$

Опишем кратко метод решения системы (13). Сферическая симметрия функций  $f_h(q)$  и  $f_l(q)$  позволяет аналитически выполнить угловое интегрирование в правой части и получить систему двух одномерных интегральных уравнений. Ядра этих уравнений в точке  $p=q$  имеют слабую (логарифмическую) особенность, которую можно проинтегрировать аналитически. Вводя новые функции  $f_{hh}(q) = f_h(1/q)$  и  $f_{ll}(q) = f_l(1/q)$ , приходим к системе четырех интегральных уравнений на отрезке  $[0, 1]$ , которая решается численно по методу Фред-

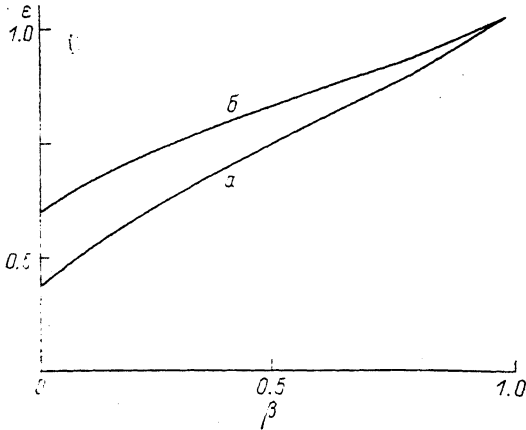


Рис. 1. Зависимость энергии основного состояния  $\varepsilon = -E_B/(E_B a^2)$  от отношения масс легкой и тяжелой дырок  $\beta = m_l/m_h$  для случаев  $\Delta = \infty$  (а) и  $\Delta = 0$  (б).

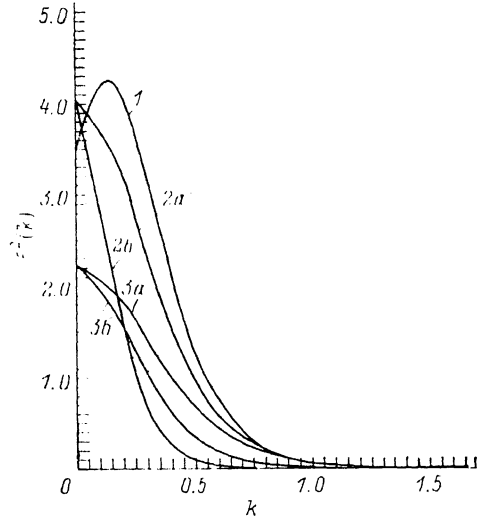


Рис. 2. Распределение тяжелых  $f_h^2$  (1, 2а и 3а) и легких  $f_l^2$  (б) (2б и 3б) дырок по импульсам в случае  $\Delta = \infty$  для значений  $\beta = 0, 0.2$  и  $0.5$  соответственно.

Величины  $f_h^2$  и  $f_l^2$  здесь в ед.  $a_B^3$ , волновой вектор  $k$  в ед.  $1/a_B$ .

гольма [11]. Важно отметить, что численный метод решения системы интегральных уравнений (13) точнее метода Рунге—Кутты [12], использованного в [5, 9] для решения эквивалентной (13) системы дифференциальных уравнений, отвечающей рассмотрению акцептора в координатном пространстве. Это обстоятельство обусловлено прежде всего тем, что система дифференциальных уравнений [5, 9] имеет два линейно независимых решения, конечных в начале координат. Как следствие, возникает необходимость решать задачу на собственные значения с двумя неизвестными константами. Оба конечных в начале координат решения при малом отклонении от собственных значений экспоненциально нарастают, что приводит к неустойчивости метода и проблеме выбора шага [12]. Кроме того, значительные проблемы порождает наличие особой точки в начале координат. Эти трудности отсутствуют при решении системы интегральных уравнений.

На рис. 1, а приведена полученная в результате численного решения системы (13) зависимость  $\varepsilon(\beta)$ . Предельному случаю  $\beta=0$  соответствует значение  $\varepsilon = 0.436$ . Как следует из сказанного выше, это значение точнее известного ранее значения  $\varepsilon = 4/9$ , полученного в [5] путем численного решения системы дифференциальных уравнений. Решение системы (13) дает также распределение связанных на акцепторе дырок по импульсам. На рис. 2 приведены зависимости  $f_h^2(k)$  и  $f_l^2(k)$  для разных значений  $\beta$ . На рис. 3 представлена характеризующая относительный вклад в волновую функцию акцептора легких и тяжелых дырок

функция  $\alpha(k) = [f_h^2(k) - f_l^2(k)] / [f_h^2(k) + f_l^2(k)]$  для разных значений  $\beta$ . Как известно, этот относительный вклад определяет степени линейной и циркулярной поляризации люминесценции, обусловленной рекомбинацией электронов и связанных на акцепторе дырок [1] [для  $\beta=0$   $\alpha(k) \equiv 1$ , для  $\beta=1$   $\alpha(k) \equiv 0$ ].

При малых  $\beta$ , как и было показано ранее [10], волновая функция акцептора при больших импульсах в основном сформирована из тяжелых дырок. При возрастании  $\beta$  область импульсов, в которой легкие дырки дают сравнимый вклад в волновую функцию, быстро расширяется. Спад волновой функции с ростом импульса удовлетворяет известной ранее [10] аппроксимации  $f_h \sim 1/k^4$ ,  $f_l \sim \beta/k^4$ .

Выясним теперь область применимости модели четырехзонного гамильтониана. Так как при любом соотношении масс легкой и тяжелой дырок величина  $\varepsilon \sim 1$  (т. е.  $|E_g| \sim E_B z^2$ ), необходимо сравнивать  $E_B z^2$  с величиной спин-орбитального расщепления  $\Delta$ . Следовательно, модель четырехзонного гамильтониана ( $\Delta = \infty$ ) хорошо описывает z-зарядные центры, для которых справедливо соот-

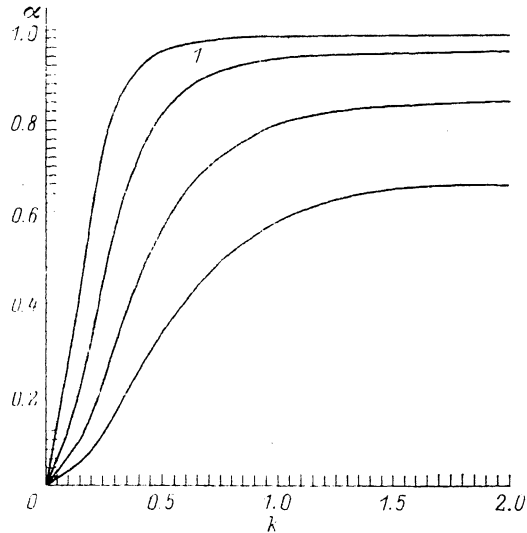


Рис. 3. Зависимость величины  $\alpha(k) = [f_h^2(k) - f_l^2(k)] / [f_h^2(k) + f_l^2(k)]$  в случае  $\Delta = \infty$  для значений  $\beta = 0.1$  (1), 0.2 (2), 0.3 (3) и 0.5 (4).

Волновой вектор  $k$  здесь в ед.  $1/a_E$ .

ношение  $\delta = \Delta / (E_B z^2) \gg 1$ . Для сравнения приведем данные для Ge [13]:  $E_B = 0.018$  эВ ( $m_h = 0.34 m_0$ ,  $\kappa = 16$ ),  $E_g = 0.664$  эВ,  $\Delta = 0.3$  эВ,  $\beta = 0.13$ . Оказывается, что  $\delta = 16.67 \gg 1$  для  $z=1$ ,  $\delta = 1.85$  для  $z=3$  и модель хорошо описывает энергию основного состояния однозарядного акцептора  $E_1$  в рамках метода эффективной массы, не учитывающего потенциал центральной ячейки), хуже — второй потенциал ионизации  $E_2$  двухзарядного акцептора, для  $z=3$  модель становится неадекватной. Для однозарядного акцептора в Ge мы получили значение  $E_1 = -0.010$  эВ ( $\varepsilon = 0.528$ ), тогда как известно экспериментальное значение  $E_1^i = -0.011$  эВ (Al) [13].

Рассмотрим теперь второй предельный случай  $\Delta = 0$ . Представим трехзонный гамильтониан (3) в виде

$$\hat{H}_0^3(\mathbf{k}) = \frac{\hbar^2 k^2}{2m_h} \Lambda^h(\mathbf{k}) + \frac{\hbar^2 k^2}{2m_l} \Lambda^l(\mathbf{k}), \quad (14)$$

где  $m_{l,h} = m_0 / (\gamma_1 \pm 2\gamma)$  — массы связанных на акцепторе легкой и тяжелой дырок,

$$\Lambda^h(\mathbf{k}) \Psi(\mathbf{k}) = \frac{1}{k^2} [[\mathbf{k} \times \Psi(\mathbf{k})] \times \mathbf{k}], \quad (15)$$

$$\Lambda^l(\mathbf{k}) \Psi(\mathbf{k}) = \frac{1}{2} \mathbf{k} \cdot (\mathbf{k} \cdot \Psi(\mathbf{k})),$$

а волновую функцию основного состояния — в виде  $\psi(\mathbf{k}) = \psi^h(\mathbf{k}) + \psi^l(\mathbf{k})$ . Функции  $\psi^h(\mathbf{k})$  и  $\psi^l(\mathbf{k})$  представляют собой трехмерные столбцы и удовлетворяют системе шести интегральных уравнений вида (7). Для произвольного соотношения масс легкой и тяжелой дырок  $\beta$  будем искать решение в виде

$$\Psi(\mathbf{k}) = [f_h(\mathbf{k}) \Lambda^h(\mathbf{k}) + f_l(\mathbf{k}) \Lambda^l(\mathbf{k})] \mathbf{M}, \quad (16)$$

где  $\mathbf{M}$  — постоянный, не зависящий от  $\mathbf{k}$  вектор с одной отличной от нуля компонентой (основное состояние трехкратно вырождено, а с учетом спинового вы-

рождения — шестикратно). Функции  $f_h(k)$  и  $f_l(k)$  нормированы теперь условно

$$\int_0^{\infty} k^2 dk [2f_h^2(k) + f_l^2(k)] = \frac{3}{4\pi}. \quad (17)$$

После подстановки функции  $\psi(k)$  в виде (16) в систему (7) получаем систему интегральных уравнений для  $f_h(k)$  и  $f_l(k)$

$$\begin{aligned} \left(\frac{\hbar^2 k^2}{2m_h} - E_z\right) f_h(k) &= \frac{e^2 z}{4\pi^2 x} \left\{ \int \frac{d^3 q}{(k-q)^2} f_h(q) \left[1 + \frac{(kq)^2}{k^2 q^2}\right] + \right. \\ &\quad \left. + \int \frac{d^3 q}{(k-q)^2} f_l(q) \left[1 - \frac{(kq)^2}{k^2 q^2}\right] \right\}, \\ \frac{1}{2} \left(\frac{\hbar^2 k^2}{2m_l} - E_z\right) f_l(k) &= \frac{e^2 z}{4\pi^2 x} \left\{ \int \frac{d^3 q}{(k-q)^2} f_h(q) \left[1 - \frac{(kq)^2}{k^2 q^2}\right] + \right. \\ &\quad \left. + \int \frac{d^3 q}{(k-q)^2} f_l(q) \cdot \frac{(kq)^2}{k^2 q^2} \right\}. \end{aligned} \quad (18)$$

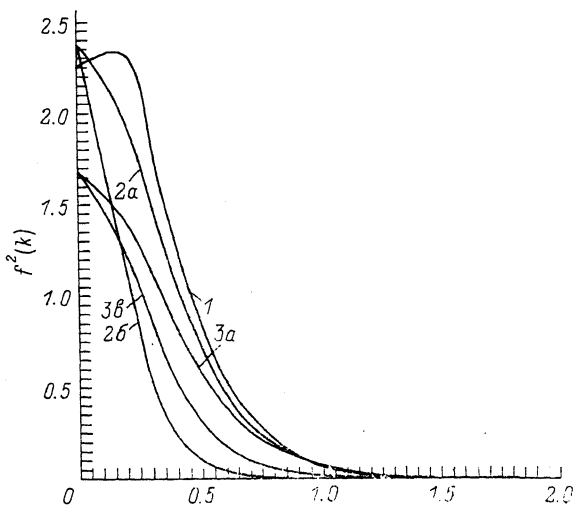


Рис. 4. Распределение тяжелых  $f_h^2$  (1, 2a и 3a) и легких  $f_l^2$  (б) (2б и 3б) дырок по импульсам в случае  $\Delta=0$  для значений  $\beta=0, 0.2$  и  $0.5$  соответственно.

Величины  $f_h^2$  и  $f_l^2$  здесь в ед.  $a_B^3$ , волновой вектор  $k$  в ед.  $1/a_B$ .

Как и в случае  $\Delta = \infty$ , независимо от значения  $\beta = m_l/m_h$  в точке  $k=0$  имеем  $f_l(0) = f_h(0)$ , при  $\beta=1$  система (18) переходит в уравнение для частицы с простым параболическим законом дисперсии. В пределе  $\beta=0$  из системы (18) следует  $f_l(k) \equiv 0$  (волновая функция сформирована из пакета тяжелых дырок), а функция  $f_h(k)$  удовлетворяет интегральному уравнению

$$\left(\frac{\hbar^2 k^2}{2m_h} - E_z\right) f_h(k) = \frac{e^2 z}{4\pi^2 x} \int \frac{d^3 q}{(k-q)^2} f_h(q) \left[1 + \frac{(kq)^2}{k^2 q^2}\right]. \quad (19)$$

После обезразмеривания системы (18) вида (12) получаем систему интегральных уравнений для функций  $f_h(k)$  и  $f_l(k)$  с параметром  $\beta$

$$\begin{aligned} (k^2 + \varepsilon) f_h(k) &= \frac{1}{2\pi^2} \left\{ \int \frac{d^3 q}{(k-q)^2} f_h(q) \left[1 + \frac{(kq)^2}{k^2 q^2}\right] + \int \frac{d^3 q}{(k-q)^2} f_l(q) \left[1 - \frac{(kq)^2}{k^2 q^2}\right] \right\}, \\ \frac{1}{2} \left(\frac{k^2}{\beta} + \varepsilon\right) f_l(k) &= \frac{1}{2\pi^2} \left\{ \int \frac{d^3 q}{(k-q)^2} f_h(q) \left[1 - \frac{(kq)^2}{k^2 q^2}\right] + \int \frac{d^3 q}{(k-q)^2} f_l(q) \cdot \frac{(kq)^2}{k^2 q^2} \right\}. \end{aligned} \quad (20)$$

На рис. 1, б представлена полученная в результате численного решения системы (20) зависимость энергии основного состояния  $\varepsilon$  от параметра  $\beta$ . В пределе

$\beta=0$   $\varepsilon$  стремится к конечному значению  $\varepsilon=0.598$ . Распределение легких  $f_l^z(k)$  и тяжелых  $f_h^z(k)$  дырок на акцепторе по импульсам для разных значений  $\beta$  представлено на рис. 4. Как и в случае  $\Delta = \infty$ , при малых  $\beta$  волновая функция акцептора в области больших импульсов в основном сформирована из тяжелых дырок. При возрастании  $\beta$  область импульсов, в которой легкие дырки дают сравнимый вклад в волновую функцию, быстро расширяется.

В отличие от случая  $\Delta = \infty$  модель трехзонного гамильтониана хорошо описывает  $z$ -зарядные центры в полупроводниках с малой величиной спин-орбитального расщепления ( $\Delta \ll E_g$ ), если выполняется условие  $\delta = \Delta / (E_B z^2) \ll 1$ . Для сравнения приведем данные для Si [<sup>13</sup>]:  $E_B = 0.053$  эВ ( $m_h = 0.537m_0$ ,  $\kappa = 11.7$ ),  $\Delta = 0.044$  эВ,  $E_g = 1.11$  эВ. Масса легкой дырки у вершины валентной зоны  $m_l = 0.153$ , но для сравнения необходимо взять пересчитанную массу связанной на акцепторе легкой дырки  $m_l = 0.113$  и  $\beta = 0.210$ . Таким образом,  $\delta \approx 0.83$  для  $z=1$ , но  $\delta = 0.09 \ll 1$  для  $z=3$ , и модель хорошо описывает трехзарядный «водородоподобный» акцептор в Si: рассчитанное значение  $E_3 = -0.338$  эВ ( $\varepsilon = 0.710$ ), экспериментальное —  $E_3^i = -0.400$  эВ (Ag) [<sup>13</sup>].

Таким образом, в настоящей работе впервые получены в импульсном представлении системы интегральных уравнений для нахождения энергии и волновых функций основного состояния дырки, связанной на  $z$ -зарядном акцепторе, для случаев малой и большой величин спин-орбитального расщепления  $\Delta$ . Рассчитаны зависимости энергии основного состояния  $z$ -зарядного акцептора от отношения масс легкой и тяжелой дырок  $\beta$  и распределения легких и тяжелых дырок по импульсам при разных значениях  $\beta$  для случаев  $\Delta = 0$  и  $\Delta = \infty$ .

Предложенные модели позволяют по известным значениям масс легкой и тяжелой дырок  $m_l$  и  $m_h$  вычислить последний потенциал ионизации мелкого  $z$ -зарядного акцептора. Критерием применимости моделей, соответствующих  $\Delta = 0$  и  $\Delta = \infty$ , служит величина параметра  $\delta = \Delta / (E_B z^2)$ . В области  $\delta \sim 1$  необходимо рассматривать шестизонный гамильтониан, описывающий валентную зону, с учетом конечной величины спин-орбитального расщепления. Такое рассмотрение будет предметом следующей публикации.

Авторы благодарны И. А. Меркулову и Ал. Л. Эфросу за обсуждение результатов работы.

#### Список литературы

- [1] Дымников В. Д., Перель В. И., Полунапов А. Ф. // ФТП. 1982. Т. 16. В. 2. С. 235—239.
- [2] Алексеев М. А., Карлик И. Я., Мирлин Д. Н., Сапега В. Ф. // ФТП. 1989. Т. 23. В. 5. С. 761—779.
- [3] Ulbrich R. G., Kash J. A., Tsang J. C. // Phys. Rev. Lett. 1989. V. 62. N 8. P. 949—952.
- [4] Luttinger J. M. // Phys. Rev. 1956. V. 102. P. 1030—1041.
- [5] Гельмонт Б. Л., Дьяконов М. И. // ФТП. 1971. Т. 5. В. 11. С. 2191—2193.
- [6] Baranov A. N., Dysholonenko P. E., Kopylov A. A., Sherstnyev V. V. // Sol. St. Commun. 1990. V. 74. N 6. P. 429—432.
- [7] Гельмонт Б. Л., Иванов-Омский В. И., Цидильковский И. М. // УФН. 1976. Т. 120. В. 3. С. 337—362.
- [8] Valdereschi A., Lipari N. O. // Phys. Rev. B. 1973. V. 8. N 6. P. 2696—2709.
- [9] Полунапов А. Ф., Коган Ш. М. // ФТП. 1979. Т. 13. В. 12. С. 2338—2341.
- [10] Дымников В. Д., Мирлин Д. Н., Перель В. И., Решина И. И. // ФТТ. 1978. Т. 20. В. 7. С. 2165—2172.
- [11] Васильева А. Б., Тихонов Н. А. Интегральные уравнения. М., 1989. 158 с.
- [12] Арушанян О. Б., Залеткин С. Ф. Численное решение обыкновенных дифференциальных уравнений на Фортране. М., 1990. 336 с.
- [13] Landolt-Borstein. Numerical Data and Functional Relationships in Science and Technology. V. 17. Subvol. a. Berlin, 1982.

Физико-технический институт  
им. А. Ф. Иоффе АН СССР  
Санкт-Петербург

Получена 24.06.1991  
Принята к печати 18.07.1991